

Исследование устойчивости неоднородных полимерных стержней в условиях термовязкоупругости

И.И. Кулинич, В.В. Литвинов, С.Б. Языев

Ростовский государственный строительный университет, г. Ростов-на-Дону

Полимерные материалы обладают многими положительными качествами: кислото- и щёлочестойкость, высокая прочность на разрыв (у некоторых разновидностей полиметилметакрилата достигает 2000 МПа) и т.д. Однако полимерным материалам, как говорилось выше, присуще сильное проявление реологических свойств. Ситуацию усугубляет то, что все упругие и высокоэластические параметры полимеров очень сильно меняются в зависимости от температуры. Так, при нагреве образца из ПММА от 20°C до 40°C значение модуля начальной релаксационной вязкости η_0^* уменьшается практически в два раза.

Таким образом, даже небольшой перепад температур в образце способен создать значительную косвенную неоднородность, которая самым неблагоприятным образом способна сказаться на работе конструкции.

Вывод основных разрешающих уравнений

При выводе основных уравнений предполагается, что на образец не действует температурное поле или температурное поле постоянно по оси стержня остаётся неизменным, т.е. $E(x) = \text{const}$. Однако значения физико-механических параметров материала имеют сильную зависимость от температуры, а следовательно, от координаты x , к примеру для модуля упругости:

$$E = f(T(x)).$$

В работе[1]рассматривается жёстко закреплённый с обоих концов стержень под действием температурной нагрузки. Однако он не учитывает возможность приложения механической нагрузки.

Использованные в расчетах значения релаксационных констант, их зависимости от температуры для эпоксидной композиции ЭДТ-10 и полиметилметакрилата (ПММА) для «старшего» составляющего спектра приводятся в работе[2]:

При выводе разрешающих уравнений основные интегральные соотношения не меняются:

$$F = b \int_{-h/2}^{h/2} \sigma dy, \quad (1)$$

$$M_0 + Fv = -b \int_{-h/2}^{h/2} \sigma y dy. \quad (2)$$

В случае выполнения гипотезы плоских сечений запишется и выражение полных деформаций:

$$\varepsilon = \varepsilon_0 - \chi y. \quad (3)$$

С другой стороны, с учетом температурных деформаций, можно записать:

$$\varepsilon = \frac{1}{E} \sigma + \varepsilon_T + \varepsilon^*, \quad (4)$$

где $\varepsilon_T = \alpha \Delta T$ – температурные деформации.

С учетом (3) и (4) можно записать

$$\sigma = E(\varepsilon_0 - \chi y - \varepsilon_T - \varepsilon^*). \quad (5)$$

Подставляя выражение (5) в (1) и проведя интегрирование, определяют осевые деформации стержня:

$$\varepsilon_0 = \frac{F}{Ebh} + \alpha\Delta T + \frac{1}{h} \int_{-h/2}^{h/2} \varepsilon^* dy. \quad (6)$$

Аналогичным образом после подстановки выражения (5) в (2):

$$M_0 + Fv = E\chi I + bE \int_{-h/2}^{h/2} \varepsilon^* y dy, \quad (7)$$

где $I = \frac{bh^3}{12}$ – осевой момент инерции стержня относительно оси z .

С учетом того, что $\chi \approx -\frac{\partial^2 v}{\partial x^2}$, окончательное разрешающее уравнение для оси стержня принимает вид:

$$\frac{\partial^2 v}{\partial x^2} + \frac{F}{EI} v = -\frac{M_0}{EI} + \frac{b}{I} \int_{-h/2}^{h/2} \varepsilon^* y dy. \quad (8)$$

Для удовлетворения произвольных граничных условий производится дважды дифференцирование выражения по x . Однако теперь $E(x) \neq \text{const}$:

$$\frac{\partial^4 v}{\partial x^4} + \frac{F}{I} \frac{\partial^2}{\partial x^2} \left(\frac{v}{E} \right) = -\frac{F}{I} \frac{\partial^2}{\partial x^2} \left(\frac{v_0}{E} \right) + \frac{\partial^2}{\partial x^2} \left(\frac{b}{I} \int_{-h/2}^{h/2} \varepsilon^* y dy \right). \quad (9)$$

Вводится обозначение: пусть $\zeta = \frac{b}{I} \int_{-h/2}^{h/2} \varepsilon^* y dy$, тогда выражение (9) принимает вид:

$$\frac{\partial^4 v}{\partial x^4} + \frac{F}{I} \frac{\partial^2}{\partial x^2} \left(\frac{v}{E} \right) = -\frac{F}{I} \frac{\partial^2}{\partial x^2} \left(\frac{v_0}{E} \right) + \frac{\partial^2 \zeta}{\partial x^2}. \quad (10)$$

Таким образом, основное разрешающее уравнение представляет собой неоднородное дифференциальное уравнение четвертого порядка с переменными коэффициентами.

Методика и алгоритм решения нелинейных уравнений, численная реализация

Пусть на исследуемый стержень действует некоторый тепловой поток. В задачи диссертационной работы не входит определение температурного поля. Поэтому предполагается, что температура распределяется по длине стержня по следующему закону:

$$T(x) = T_0 + k_0 x t, \quad (11)$$

где k_0 – скорость роста температуры, $\frac{\text{град}}{\text{мм}\cdot\text{ч}}$.

Таким образом, на первом этапе вычисляем распределение температурного поля по оси стержня x . На следующем этапе – распределение физико-механических и релаксационных параметров по оси стержня в зависимости от температурного поля. На третьем – определяется напряженно-деформированное состояние полимерного стержня. Пусть стержень обладает некоторой начальной погибью

$$v_0 = f_0 \sin^2 \frac{\pi x}{l}, \quad (12)$$

где f_0 – стрела начального погиба стержня; l – длина стержня.

Если считать нагружение мгновенным, то в момент времени $t = 0$ будут справедливы начальные условия $\varepsilon_0^* = 0$. Таким образом, на нулевом этапе приходим к упругой задаче.

Граничные условия описываются соотношениями:

$$v(0) = 0; \quad \varphi(0) = \frac{\partial v(0)}{\partial x} = 0; \quad (13)$$

$$v(l) = 0; \quad \varphi(l) = \frac{\partial v(l)}{\partial x} = 0,$$

где $v(x)$ – погиб исследуемого стержня; $\varphi(x)$ – углы поворота нормального к продольной оси стержня сечения.

Вводя обозначение $v = u$ и обозначив штрихом дифференцирование по x , полученную краевую задачу можно сформулировать следующим образом:

$$u^{IV} + p \left(\frac{u}{E} \right)'' = f; \quad (14)$$

$$u(0) = 0; \quad \varphi(0) = \frac{\partial u(0)}{\partial x} = 0; \quad u(l) = 0; \quad \varphi(l) = \frac{\partial u(l)}{\partial x} = 0, \quad (15)$$

где

$$p = \frac{F}{I}, \quad f = -p \frac{\partial^2}{\partial x^2} \left(\frac{v_0}{E} \right) + \frac{\partial^2}{\partial x^2} \left(\frac{b}{I} \int_{-h/2}^{h/2} \varepsilon^* y dy \right).$$

Вводим на интервалах интегрирования равномерные сетки

$$\omega_{hx} = \left\{ x_i = ih_x; \quad h_x = \frac{l}{N_x}; \quad i = 0, 1, \dots, N_x \right\};$$

$$\omega_{hy} = \left\{ y_j = jh_y; \quad h_y = \frac{h}{N_y}; \quad j = 0, 1, \dots, N_y \right\}.$$

Краевым задачам можно поставить в соответствие схему четвертого порядка аппроксимации

$$u_{\bar{r}\bar{r}\bar{r}\bar{r}} + p_i \left(\frac{u}{E} \right)_{\bar{r}\bar{r}} = f_i, \quad (16)$$

Где

$$u_{\bar{r}\bar{r}\bar{r}\bar{r}} = \frac{1}{h_x^4} (u_{i-2} - 4u_{i-1} + 6u_i - 4u_{i+1} + u_{i+2}) + 0(h_x)^4,$$

$$u_{\bar{r}\bar{r}} = \frac{1}{h_x^2} \left[\left(\frac{u}{E} \right)_{i-1} - 2 \left(\frac{u}{E} \right)_i + \left(\frac{u}{E} \right)_{i+1} \right] + 0(h_x)^2.$$

Граничные условия (13) в точках $x = 0$ и $x = l$ аппроксимируются следующим образом (рис. 1):

$$u_0 = 0; \quad \varphi_0 \rightarrow u_{-1} = u_1; \quad (17)$$

$$u_{N_x} = 0; \quad \varphi_{N_x} \rightarrow u_{N_x-1} = u_{N_x+1}.$$

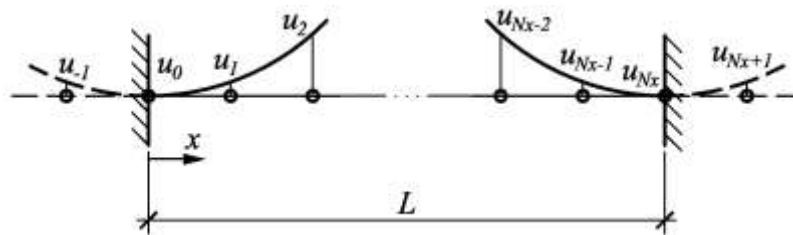


Рис. 1. Аппроксимация граничных условий задачи при варианте закрепления «защемление-защемление»

Полученную разностную схему можно представить в виде системы линейных алгебраических уравнений:

$$AY = F, \quad (18)$$

где

$$Y = \{u_0, u_1, u_2 \dots u_i \dots u_{N_x-2}, u_{N_x-1}, u_{N_x}\}^T;$$

$$f = \{0, f_1, f_2 \dots f_i \dots f_{N_x-2}, f_{N_x-1}, 0\}^T;$$

